

# NOTAS DE ATENDIMENTO E EXERCÍCIOS

MARCOS AGNOLETTI FORTE

RESUMO. Estas são notas não oficiais sobre os temas mais importantes discutidos durante os horários de atendimento.

## CONTEÚDO

1. Aula do dia 18/09/2023	1
1.1. Revisão de geometria diferencial I	1
1.2. A faixa de Möbius	5
1.3. Um panorama de geometria diferencial II através do SageMath	9
Referências	11

## 1. AULA DO DIA 18/09/2023

Objetivos da aula:

- Explicar as regras do curso (aproximadamente 10 minutos)
- Fazer uma revisão relâmpago de Geometria Diferencial I (aproximadamente 30 minutos)
- Introdução à faixa de Möbius (aproximadamente 10 minutos)
- Pausa de 10 minutos
- Obter a parametrização da Faixa de Möbius (aproximadamente 20 minutos)
- Calcular os coeficientes da primeira forma fundamental (aproximadamente 20 minutos)
- Um visão panorâmica do curso de Geometria Diferencial II através do SageManifolds (aproximadamente 10 minutos)
- Acabar 10 minutos antes

Tempo de aula (expectativa): 120 minutos.

1.1. **Revisão de geometria diferencial I.** A referência para esta seção é [DC05].

**Definição 1.1.** Uma **curva diferenciável parametrizada** no  $\mathbb{R}^3$  é uma aplicação diferenciável  $\alpha : I \subset \mathbb{R} \rightarrow \mathbb{R}^3$ . Escrevemos  $\alpha(t) = (x(t), y(t), z(t))$ , para  $t \in I$ , o conjunto  $\alpha(I)$  é chamado de **traço da curva**  $\alpha$ .

**Exemplo 1.1.**  $\alpha(t) := (\cos(t), \sin(t), t)$ ,  $t \in \mathbb{R}$ , é uma curva diferenciável parametrizada no  $\mathbb{R}^3$  ( $\mathcal{C}^\infty$ ) cujo traço é um cilindro.

**Definição 1.2.** Sejam  $\alpha : I \subset \mathbb{R} \rightarrow \mathbb{R}^3$  uma curva parametrizada diferenciável e  $t_0 \in I$  tal que  $\alpha'(t_0) \neq 0$ . Neste caso, dizemos que  $\alpha'(t_0)$  é o **vetor tangente a  $\alpha$  no ponto  $\alpha(t_0)$**  e que  $\alpha(t_0)$  é um **ponto regular de  $\alpha$** .

**Definição 1.3.** Seja  $\alpha : I \subset \mathbb{R} \rightarrow \mathbb{R}^3$  uma curva parametrizada diferenciável. Dizemos que  $\alpha$  é **regular** se  $\alpha(t_0)$  for um ponto regular de  $\alpha$  para todo  $t_0 \in I$ .

Note que uma curva parametrizada diferenciável  $\alpha : I \subset \mathbb{R} \rightarrow \mathbb{R}^3$  é regular se  $\alpha'(t_0) \neq 0$  para todo  $t_0 \in I$ .

**Exemplo 1.2.**  $\alpha(t) := (t^2, t^3)$ ,  $t \in \mathbb{R}$ , é uma curva diferenciável ( $\mathcal{C}^\infty$ ) que não é regular.

**Definição 1.4.** Seja  $\alpha : I \subset \mathbb{R} \rightarrow \mathbb{R}^3$  uma curva regular. Dizemos que  $\beta$  é uma **reparametrização** de  $\alpha$  se existir um difeomorfismo  $h : J \subset \mathbb{R} \rightarrow I$  tal que  $\beta = \alpha \circ h$ .

**Definição 1.5.** Seja  $\alpha : I \subset \mathbb{R} \rightarrow \mathbb{R}^3$  uma curva regular. O **comprimento de arco** de  $\alpha$  é dado por

$$L_\alpha(I) = L(\alpha(I)) := \int_I \|\alpha'(t)\| dt.$$

**Definição 1.6.** Seja  $\alpha : I \subset \mathbb{R} \rightarrow \mathbb{R}^3$  uma curva regular. Dizemos que  $\alpha$  está **parametrizada pelo comprimento de arco (p.p.c.a.)** se

$$L_\alpha([t_0, t_1]) = t_1 - t_0,$$

para todos  $t_0, t_1 \in I$  tais que  $t_0 < t_1$ .

**Proposição 1.1.** Seja  $\alpha : I \subset \mathbb{R} \rightarrow \mathbb{R}^3$  uma curva regular. Então  $\alpha$  está p.p.c.a. se, e somente se,  $\|\alpha'(t_0)\| = 1$  para todo  $t_0 \in I$ .

**Proposição 1.2.** Seja  $\alpha : I \subset \mathbb{R} \rightarrow \mathbb{R}^3$  uma curva regular. Então  $\alpha$  pode ser reparametrizada pelo comprimento de arco.

Seja  $\alpha : I \subset \mathbb{R} \rightarrow \mathbb{R}^3$  uma curva regular p.p.c.a.. Denotaremos por  $\vec{t}(s) := \alpha'(s)$  o vetor tangente de  $\alpha$  no ponto  $\alpha(s)$  para todo  $s \in I$ . Como  $\alpha$  está p.p.c.a., para todo  $s \in I$  temos que

$$\begin{aligned} \|\alpha'(s)\| &= 1 \\ \|\alpha'(s)\|^2 &= 1 \\ \langle \alpha'(s), \alpha'(s) \rangle &= 1 \\ \langle \alpha''(s), \alpha'(s) \rangle + \langle \alpha'(s), \alpha''(s) \rangle &= 0 \\ \langle \alpha''(s), \alpha'(s) \rangle &= 0. \end{aligned}$$

Consequentemente,  $\alpha''(s) \perp \alpha'(s)$ .

**Definição 1.7.** Seja  $\alpha : I \subset \mathbb{R} \rightarrow \mathbb{R}^3$  uma curva regular p.p.c.a.. Definimos a **curvatura** de  $\alpha$  em  $s \in I$  como sendo o número  $\kappa(s) := \|\alpha''(s)\|$ .

Geometricamente,  $\kappa(s)$  mede o quanto uma curva se afasta de uma reta.

**Definição 1.8.** Seja  $\alpha : I \subset \mathbb{R} \rightarrow \mathbb{R}^3$  uma curva regular p.p.c.a. tal que  $\kappa(s) \neq 0$  para todo  $s \in I$ . Definimos o **normal (principal)** de  $\alpha$  em  $s \in I$  como sendo o vetor

$$\vec{n}(s) := \frac{1}{\kappa(s)} \alpha''(s).$$

Note que  $\vec{t}(s) \perp \vec{n}(s)$  para todo  $s \in I$ .

**Definição 1.9.** Seja  $\alpha : I \subset \mathbb{R} \rightarrow \mathbb{R}^3$  uma curva regular p.p.c.a. tal que  $\kappa(s) \neq 0$  para todo  $s \in I$ . Definimos o **binormal** de  $\alpha$  em  $s \in I$  como sendo o vetor

$$\vec{b}(s) := \vec{t}(s) \wedge \vec{n}(s).$$

Note que  $\{\vec{t}(s), \vec{n}(s), \vec{b}(s)\}$  é uma base ortonormal de  $\mathbb{R}^3$  centrada em  $\alpha(s)$  para cada  $s \in I$ , ou seja, um referencial móvel sobre  $\alpha$ , o qual chamamos de **triedro de Frenet-Serret**<sup>1</sup> ou **referencial de Frenet-Serret** ou **referencial TNB**.

Para todo  $s \in I$  temos que

$$\begin{aligned} \langle \vec{b}(s), \vec{b}(s) \rangle &= 1 \\ \left\langle \frac{d\vec{b}}{ds}(s), \vec{b}(s) \right\rangle &= 0, \end{aligned}$$

<sup>1</sup>Em homenagem aos matemáticos Jean Frédéric Frenet e Joseph Alfred Serret.

e

$$\begin{aligned}
\langle \vec{b}(s), \vec{t}(s) \rangle &= 0 \\
\left\langle \frac{d\vec{b}}{ds}(s), \vec{t}(s) \right\rangle + \left\langle \vec{b}(s), \frac{d\vec{t}}{ds}(s) \right\rangle &= 0 \\
\left\langle \frac{d\vec{b}}{ds}(s), \vec{t}(s) \right\rangle + \kappa(s) \langle \vec{b}(s), \vec{n}(s) \rangle &= 0 \\
\left\langle \frac{d\vec{b}}{ds}(s), \vec{t}(s) \right\rangle &= 0.
\end{aligned}$$

Consequentemente,

$$\frac{d\vec{b}}{ds}(s) \parallel \vec{n}(s),$$

para todo  $s \in I$ .

**Definição 1.10.** Seja  $\alpha : I \subset \mathbb{R} \rightarrow \mathbb{R}^3$  uma curva regular p.p.c.a. tal que  $\kappa(s) \neq 0$  para todo  $s \in I$ . Definimos a **torção de  $\alpha$  em  $s \in I$**  como sendo o numero

$$\tau(s) := \left\langle \frac{d\vec{b}}{ds}(s), \vec{n}(s) \right\rangle.$$

Geometricamente,  $\tau(s)$  mede o quanto a curva deixa de ser plana. Além disso, note que

$$\frac{d\vec{b}}{ds}(s) = \left\langle \frac{d\vec{b}}{ds}(s), \vec{t}(s) \right\rangle \vec{t}(s) + \left\langle \frac{d\vec{b}}{ds}(s), \vec{b}(s) \right\rangle \vec{b}(s) + \left\langle \frac{d\vec{b}}{ds}(s), \vec{n}(s) \right\rangle \vec{n}(s) = \tau(s) \vec{n}(s).$$

**Proposição 1.3** (Equações de Frenet-Serret). Seja  $\alpha : I \subset \mathbb{R} \rightarrow \mathbb{R}^3$  uma curva regular p.p.c.a. tal que  $\kappa(s) \neq 0$  para todo  $s \in I$ . Então, para todo  $s \in I$ , valem que

$$\begin{aligned}
\frac{d\vec{t}}{ds}(s) &= 0 + \kappa(s) \vec{n}(s) + 0, \\
\frac{d\vec{n}}{ds}(s) &= -\kappa(s) \vec{t}(s) + 0 - \tau(s) \vec{b}(s), \\
\frac{d\vec{b}}{ds}(s) &= 0 + \tau(s) \vec{n}(s) + 0.
\end{aligned}$$

Ou ainda, matricialmente,

$$\begin{pmatrix} \vec{t}' \\ \vec{n}' \\ \vec{b}' \end{pmatrix} = \begin{pmatrix} 0 & \kappa & 0 \\ -\kappa & 0 & -\tau \\ 0 & \tau & 0 \end{pmatrix} \begin{pmatrix} \vec{t} \\ \vec{n} \\ \vec{b} \end{pmatrix}.$$

**Teorema 1.1** (Teorema fundamental da teoria local de curvas). Dadas duas funções  $\kappa, \tau : I \subset \mathbb{R} \rightarrow \mathbb{R}$  tais que  $\kappa(s) > 0$  para todo  $s \in I$ , então existe uma curva  $\alpha : I \subset \mathbb{R} \rightarrow \mathbb{R}^3$  cuja curvatura é  $\kappa(s)$  e cuja torção é  $\tau(s)$ . Além disso, qualquer outra curva com a mesma propriedade é congruente a  $\alpha$ .

**Definição 1.11.** Um subconjunto  $S \subset \mathbb{R}^3$  é uma **superfície regular** se, para cada  $p \in S$ , existe uma vizinhança  $V$  de  $p$  em  $\mathbb{R}^3$  e uma aplicação  $\phi : U \rightarrow V \cap S$  de um aberto  $U$  de  $\mathbb{R}^2$  sobre  $V \cap S \subset \mathbb{R}^3$  tal que

- (1)  $\phi$  é um homeomorfismo diferenciável.
- (2) A diferencial  $d\phi_q : \mathbb{R}^2 \rightarrow \mathbb{R}^3$  é injetiva para todo  $q \in U$ .

**Proposição 1.4** (Mudança de parâmetros). Sejam  $p \in S$  um ponto de uma superfície regular  $S$ ,  $\phi : U \subset \mathbb{R}^2 \rightarrow S$  e  $\psi : V \subset \mathbb{R}^2 \rightarrow S$  duas parametrizações de  $S$  tais que  $p \in \phi(U) \cap \psi(V) =: W$ . Então

$$h := \phi^{-1} \circ \psi : \psi^{-1}(W) \rightarrow \phi^{-1}(W)$$

é um difeomorfismo, isto é,  $h$  é diferenciável e tem inversa diferenciável.

Sejam  $\phi : U \subset \mathbb{R}^2 \rightarrow \mathbb{R}^3$  uma parametrização de uma superfície regular  $S$  e  $q \in U$ . Chamamos o subespaço vetorial de dimensão 2

$$T_{\phi(q)}S := d\phi_q(\mathbb{R}^2) \subset \mathbb{R}^3,$$

de **espaço tangente a  $S$  em  $\phi(q)$** . Este espaço vetorial coincide com o conjunto dos vetores tangentes  $\alpha'(0)$  de curvas parametrizadas diferenciáveis  $\alpha : ]-\varepsilon, \varepsilon[ \rightarrow S$ , com  $\alpha(0) = \phi(q)$ .

A escolha de uma parametrização  $\phi$  determina uma base

$$\{d\phi_q(u), d\phi_q(v)\} = \left\{ \frac{\partial \phi}{\partial u}(q), \frac{\partial \phi}{\partial v}(q) \right\} =: \{\phi_u(q), \phi_v(q)\}$$

de  $T_{\phi(q)}S$  e um vetor normal unitário em cada ponto  $p \in \phi(U)$  dado por

$$N(p) := \frac{\phi_u \wedge \phi_v}{\|\phi_u \wedge \phi_v\|}(q).$$

Nem sempre é possível estender a aplicação diferenciável  $N : U \rightarrow \mathbb{R}^3$  de maneira diferenciável à superfície  $S$ .

O produto interno canônico do  $\mathbb{R}^3$  induz em cada plano tangente  $T_pS$  de uma superfície regular  $S$  um produto interno, que denotaremos por  $\langle \cdot, \cdot \rangle_p$ . A esse produto interno, que é uma forma bilinear simétrica, corresponde uma forma quadrática  $I_p : T_pS \rightarrow \mathbb{R}$  dada por

$$I_p(w) := \langle w, w \rangle_p = \|w\|_p^2 \geq 0.$$

Tal forma quadrática em  $T_pS$  é chamada de **primeira forma fundamental de  $S$  em  $p \in S$** .

Vamos, agora, expressar a primeira forma fundamental na base  $\{\phi_u, \phi_v\}$  associada a parametrização  $\phi(u, v)$  em  $p$ . Como um vetor  $w \in T_pS$  é o vetor tangente a uma curva parametrizada  $\alpha(t) = \phi(u(t), v(t))$ ,  $t \in ]-\varepsilon, \varepsilon[$ , com  $p = \alpha(0)$ , obtemos

$$\begin{aligned} I_p(w) &= I_p(\alpha'(0)) \\ &= \langle \alpha'(0), \alpha'(0) \rangle_p \\ &= \langle \phi_u(u(0), v(0))u'(0) + \phi_v(u(0), v(0))v'(0), \phi_u(u(0), v(0))u'(0) + \phi_v(u(0), v(0))v'(0) \rangle_p \\ &= \langle \phi_u(q), \phi_u(q) \rangle_p (u'(0))^2 + 2\langle \phi_u(q), \phi_v(q) \rangle_p u'(0)v'(0) + \langle \phi_v(q), \phi_v(q) \rangle_p (v'(0))^2 \\ &= E(q) (u'(0))^2 + 2F(q) u'(0)v'(0) + G(q) (v'(0))^2, \end{aligned}$$

onde

$$\begin{cases} E(q) := \langle \phi_u(q), \phi_u(q) \rangle_p, \\ F(q) := \langle \phi_u(q), \phi_v(q) \rangle_p, \\ G(q) := \langle \phi_v(q), \phi_v(q) \rangle_p \end{cases}$$

são os **coeficientes da primeira forma fundamental na base  $\{\phi_u, \phi_v\}$  de  $T_pS$** . Fazendo  $q$  variar numa vizinhança coordenada correspondente à parametrização  $\phi$ , obtemos funções  $E, F, G$  que são diferenciáveis nesta vizinhança. Quando não houver ambiguidade, os índices  $p$  e  $q$  serão omitidos.

Assim, podemos representar a primeira forma fundamental como uma matriz simétrica

$$I(w) = w^\top \begin{pmatrix} E & F \\ F & G \end{pmatrix} w = (u'(0)v'(0)) \begin{pmatrix} E(q) & F(q) \\ F(q) & G(q) \end{pmatrix} \begin{pmatrix} u'(0) \\ v'(0) \end{pmatrix}.$$

**Definição 1.12.** Uma superfície  $S$  é **orientável** se ela admite uma cobertura por vizinhanças coordenadas  $\phi_\alpha(U_\alpha)$ , em que  $\phi_\alpha : U_\alpha \rightarrow S$ , de tal modo que se  $p \in X_{\alpha_1}(U_{\alpha_1}) \cap X_{\alpha_2}(U_{\alpha_2})$ , com

$(u, v) = U_{\alpha_1}$  e  $(\bar{u}, \bar{v}) \in U_{\alpha_2}$ , então

$$\text{Jac}((\bar{u}, \bar{v}) \mapsto (u, v)) = \frac{\partial(\bar{u}, \bar{v})}{\partial(u, v)} = \det \begin{pmatrix} \frac{\partial \bar{u}}{\partial u} & \frac{\partial \bar{u}}{\partial v} \\ \frac{\partial \bar{v}}{\partial u} & \frac{\partial \bar{v}}{\partial v} \end{pmatrix} > 0.$$

A escolha de uma tal família de vizinhanças coordenadas que cobrem  $S$  é chamada de **orientação** de  $S$  e  $S$ , neste caso, diz-se **orientada**. Se uma tal escolha não é possível, diz-se que  $S$  é **não-orientável**. Se  $S$  é orientada, uma parametrização local  $\phi$  é compatível com a orientação de  $S$  se, unindo  $\phi$  à família de parametrizações dada pela orientação, obtém-se ainda uma (logo, a mesma) orientação.

**Proposição 1.5.** Uma superfície regular  $S \subset \mathbb{R}^3$  é orientável se, e somente se, existe um campo diferencial  $N : S \rightarrow \mathbb{R}^3$  de vetores normais em  $S$ , isto é,  $N(p) \perp T_p S$  para todo  $p \in S$ .

**1.2. A faixa de Möbius.** A faixa de Möbius<sup>2</sup> é obtida tomando-se um retângulo e identificando-se dois lados opostos depois de uma rotação de  $180^\circ$ , como ilustra a Figura 1.

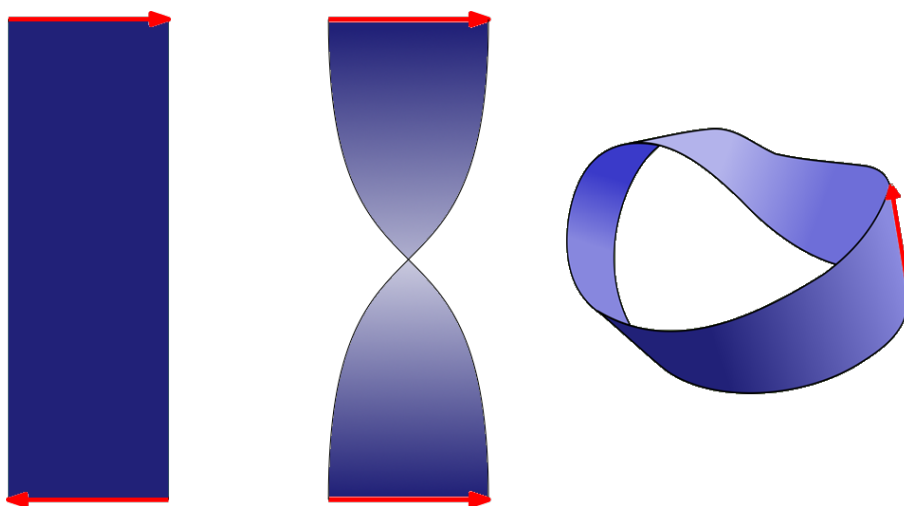


FIGURA 1. Construção de uma faixa de Möbius.

A faixa de Möbius, além de suas inúmeras aplicações artísticas, como em logotipos de centros de estudo de matemática em todo o mundo, também encontra frequentemente uso na engenharia, especialmente na produção de correias que desgastam “ambos” os lados igualmente.

A seguir, apresentaremos uma parametrização da faixa de Möbius e calcularemos os coeficientes de sua primeira forma fundamental.

**1.2.1. Parametrização.** Considere a faixa de Möbius, denotada por  $\mathbf{M}$ , ao redor do eixo  $z$  com raio 2 e largura 1. Sejam  $(u, v) \in ]0, 2\pi[ \times ]-1, 1]$  e note que para  $p = (x, y, z) \in \mathbf{M}$  temos que

$$\begin{cases} x(u, v) &= \left(2 + v \cos\left(\frac{u}{2}\right)\right) \cos(u) \\ y(u, v) &= \left(2 + v \cos\left(\frac{u}{2}\right)\right) \sin(u) \\ z(u, v) &= v \sin\left(\frac{u}{2}\right). \end{cases}$$

<sup>2</sup>Em homenagem ao matemático August Ferdinand Möbius.

A Figura 2 auxilia a entender as equações acima. Note que cada ponto do segmento que rotacionamos identificamos com um valor de  $v \in [-1, 1]$  e esta é uma variável da parametrização, que segue a mesma ideia do Toro.

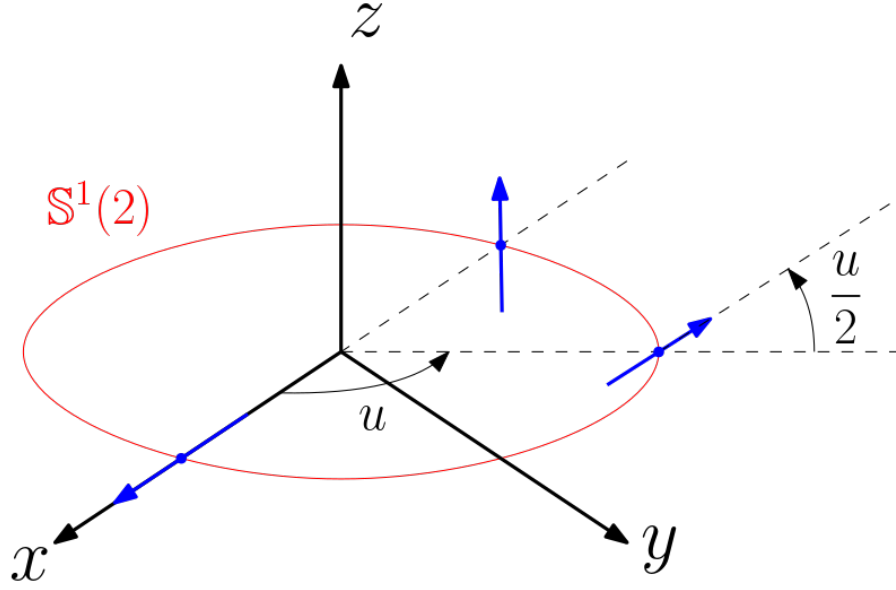


FIGURA 2. Facilitador para a parametrização da faixa de Möbius.

Portanto, um sistema de coordenadas locais para a faixa de Möbius é dado por

$$\begin{aligned} \phi : ]0, 2\pi[ \times [-1, 1] \subset \mathbb{R}^2 &\rightarrow \mathbf{M} \subset \mathbb{R}^3 \\ (u, v) &\mapsto (x(u, v), y(u, v), z(u, v)). \end{aligned}$$

A vizinhança coordenada correspondente omite os pontos  $u = 0$ , como ilustra a Figura 3.

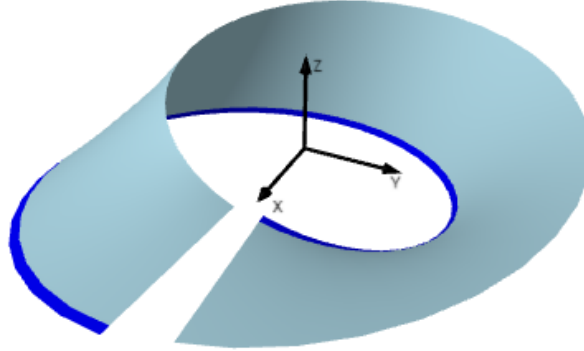


FIGURA 3. Plot de  $\phi$ .

Logo, tomando-se  $(\bar{u}, \bar{v}) \in ]0, 2\pi[ \times [-1, 1]$  de modo que

$$\begin{cases} x(\bar{u}, \bar{v}) &= \left( 2 + \bar{v} \cos \left( \frac{\bar{u}}{2} + \frac{\pi}{4} \right) \right) \cos \left( \bar{u} + \frac{\pi}{2} \right) \\ y(\bar{u}, \bar{v}) &= \left( 2 + \bar{v} \cos \left( \frac{\bar{u}}{2} + \frac{\pi}{4} \right) \right) \sin \left( \bar{u} + \frac{\pi}{2} \right) \\ z(\bar{u}, \bar{v}) &= \bar{v} \sin \left( \frac{\bar{u}}{2} + \frac{\pi}{4} \right) \end{cases}$$

obtemos outro sistema de coordenadas locais para a faixa de Möbius é dado por

$$\psi : ]0, 2\pi[ \times [-1, 1] \subset \mathbb{R}^2 \rightarrow \mathbf{M} \subset \mathbb{R}^3$$

$$(\bar{u}, \bar{v}) \mapsto (x(\bar{u}, \bar{v}), y(\bar{u}, \bar{v}), z(\bar{u}, \bar{v})).$$

A vizinhança coordenada correspondente omite os pontos no intervalo aberto  $u = 0$ , como ilustra a Figura 4.

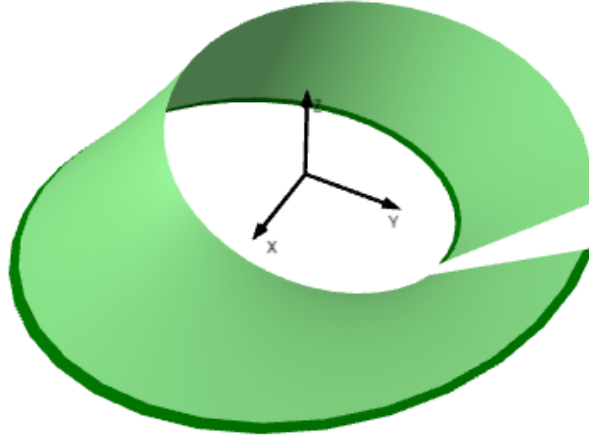


FIGURA 4. Plot de  $\psi$ .

Essas duas vizinhanças coordenadas formam uma cobertura para a faixa de Möbius, como ilustra a Figura 5.

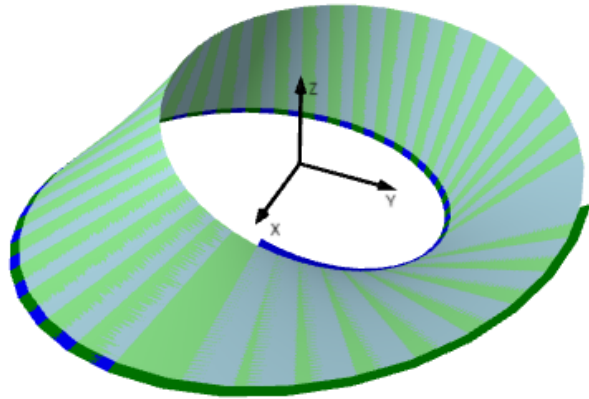


FIGURA 5. Plot de  $\phi$  e  $\psi$  juntos.

Assim, temos que a faixa de Möbius é uma superfície regular. De fato, a intersecção dessas duas vizinhanças coordenadas é constituída por duas componentes conexas

$$W_1 := \left\{ \phi(u, v) : 0 < u < \frac{\pi}{2}, -1 \leq v \leq 1 \right\} \text{ e } W_2 := \left\{ \phi(u, v) : \frac{\pi}{2} < u < 2\pi, -1 \leq v \leq 1 \right\}.$$

A mudança de coordenada é dada por (a Figura 5 ilustra a mudança de orientação de  $v$  em  $W_1$  pela sobreposição ou não das partes mais escuras)

$$\begin{cases} \bar{u} &= u + \frac{\pi}{2} \\ \bar{v} &= -v \end{cases} \text{ em } W_1 \text{ e } \begin{cases} \bar{u} &= u + \frac{\pi}{2} \\ \bar{v} &= v \end{cases} \text{ em } W_2.$$

Donde temos que

$$\text{Jac}((\bar{u}, \bar{v}) \mapsto (u, v)) = \frac{\partial(\bar{u}, \bar{v})}{\partial(u, v)} = \det \begin{pmatrix} \frac{\partial \bar{u}}{\partial u} & \frac{\partial \bar{u}}{\partial v} \\ \frac{\partial \bar{v}}{\partial u} & \frac{\partial \bar{v}}{\partial v} \end{pmatrix} = \det \begin{pmatrix} 1 & 0 \\ 0 & -1 \end{pmatrix} = -1$$

em  $W_1$ , e

$$\text{Jac}((\bar{u}, \bar{v}) \mapsto (u, v)) = \frac{\partial(\bar{u}, \bar{v})}{\partial(u, v)} = \det \begin{pmatrix} \frac{\partial \bar{u}}{\partial u} & \frac{\partial \bar{u}}{\partial v} \\ \frac{\partial \bar{v}}{\partial u} & \frac{\partial \bar{v}}{\partial v} \end{pmatrix} = \det \begin{pmatrix} 1 & 0 \\ 0 & 1 \end{pmatrix} = 1$$

em  $W_2$ .

1.2.2. *Primeira forma fundamental.* Para obtermos a primeira forma fundamental basta calcularmos as expressões de  $E, F, G$  da métrica pelas expressões em coordenadas obtidas anteriormente.

Derivamos  $x(u, v)$  com relação a  $u$

$$\begin{aligned} x_u(u, v) &= \frac{\partial}{\partial u} \left( 2 + v \cos \left( \frac{u}{2} \right) \right) \cos(u) + \left( 2 + v \cos \left( \frac{u}{2} \right) \right) \frac{\partial}{\partial u} (\cos(u)) \\ &= -\frac{v}{2} \sin \left( \frac{u}{2} \right) \cos(u) - \left( 2 + v \cos \left( \frac{u}{2} \right) \right) \sin(u), \end{aligned}$$

e com relação a  $v$

$$\begin{aligned} x_v(u, v) &= \frac{\partial}{\partial v} \left( 2 + v \cos \left( \frac{u}{2} \right) \right) \cos(u) + \left( 2 + v \cos \left( \frac{u}{2} \right) \right) \frac{\partial}{\partial v} (\cos(u)) \\ &= \cos \left( \frac{u}{2} \right) \cos(u). \end{aligned}$$

Derivamos  $y(u, v)$  com relação a  $u$

$$\begin{aligned} y_u(u, v) &= \frac{\partial}{\partial u} \left( 2 + v \cos \left( \frac{u}{2} \right) \right) \sin(u) + \left( 2 + v \cos \left( \frac{u}{2} \right) \right) \frac{\partial}{\partial u} (\sin(u)) \\ &= -\frac{v}{2} \sin \left( \frac{u}{2} \right) \sin(u) + \left( 2 + v \cos \left( \frac{u}{2} \right) \right) \cos(u), \end{aligned}$$

e com relação a  $v$

$$\begin{aligned} y_v(u, v) &= \frac{\partial}{\partial v} \left( 2 + v \cos \left( \frac{u}{2} \right) \right) \sin(u) + \left( 2 + v \cos \left( \frac{u}{2} \right) \right) \frac{\partial}{\partial v} (\sin(u)) \\ &= \cos \left( \frac{u}{2} \right) \sin(u). \end{aligned}$$

Derivamos  $z(u, v)$  com relação a  $u$

$$z_u(u, v) = \frac{\partial}{\partial u} \left( v \sin \left( \frac{u}{2} \right) \right) = \frac{v}{2} \cos \left( \frac{u}{2} \right),$$

e com relação a  $v$

$$z_v(u, v) = \frac{\partial}{\partial v} \left( v \sin \left( \frac{u}{2} \right) \right) = \sin \left( \frac{u}{2} \right).$$

Logo,

$$\begin{aligned} E &= \langle \phi_u, \phi_u \rangle \\ &= \langle (x_u, y_u, z_u), (x_u, y_u, z_u) \rangle \\ &= x_u^2 + y_u^2 + z_u^2 \\ &= \left( -\frac{v}{2} \sin \left( \frac{u}{2} \right) \cos(u) - \left( 2 + v \cos \left( \frac{u}{2} \right) \right) \sin(u) \right)^2 \\ &\quad + \left( -\frac{v}{2} \sin \left( \frac{u}{2} \right) \sin(u) + \left( 2 + v \cos \left( \frac{u}{2} \right) \right) \cos(u) \right)^2 \\ &\quad + \left( \frac{v}{2} \cos \left( \frac{u}{2} \right) \right)^2 \\ &= \frac{v^2}{4} \sin^2 \left( \frac{u}{2} \right) \cos^2(u) + \left( 2 + v \cos \left( \frac{u}{2} \right) \right)^2 \sin^2(u) + 2 \frac{v}{2} \sin \left( \frac{u}{2} \right) \cos(u) \left( 2 + v \cos \left( \frac{u}{2} \right) \right) \sin(u) \\ &\quad + \frac{v^2}{4} \sin^2 \left( \frac{u}{2} \right) \sin^2(u) + \left( 2 + v \cos \left( \frac{u}{2} \right) \right)^2 \cos^2(u) - 2 \frac{v}{2} \sin \left( \frac{u}{2} \right) \sin(u) \left( 2 + v \cos \left( \frac{u}{2} \right) \right) \cos(u) \end{aligned}$$



$$\begin{aligned}
& + \frac{v^2}{4} \cos^2 \left( \frac{u}{2} \right) \\
& = \frac{v^2}{4} \sin^2 \left( \frac{u}{2} \right) + \left( 2 + v \cos \left( \frac{u}{2} \right) \right)^2 + \frac{v^2}{4} \cos^2 \left( \frac{u}{2} \right) \\
& = \frac{v^2}{4} + 4 + v^2 \cos^2 \left( \frac{u}{2} \right) + 4v \cos \left( \frac{u}{2} \right) \\
& = v^2 \left( \frac{1}{4} + \cos^2 \left( \frac{u}{2} \right) \right) + 4v \cos \left( \frac{u}{2} \right) + 4.
\end{aligned}$$

$$\begin{aligned}
F & = \langle \phi_u, \phi_v \rangle \\
& = \langle (x_u, y_u, z_u), (x_v, y_v, z_v) \rangle \\
& = x_u x_v + y_u y_v + z_u z_v \\
& = \left( -\frac{v}{2} \sin \left( \frac{u}{2} \right) \cos(u) - \left( 2 + v \cos \left( \frac{u}{2} \right) \right) \sin(u) \right) \left( \cos \left( \frac{u}{2} \right) \cos(u) \right) \\
& \quad + \left( -\frac{v}{2} \sin \left( \frac{u}{2} \right) \sin(u) + \left( 2 + v \cos \left( \frac{u}{2} \right) \right) \cos(u) \right) \left( \cos \left( \frac{u}{2} \right) \sin(u) \right) \\
& \quad + \left( \frac{v}{2} \cos \left( \frac{u}{2} \right) \right) \left( \sin \left( \frac{u}{2} \right) \right) \\
& = -\frac{v}{2} \sin \left( \frac{u}{2} \right) \cos \left( \frac{u}{2} \right) \cos^2(u) - \left( 2 + v \cos \left( \frac{u}{2} \right) \right) \sin(u) \cos \left( \frac{u}{2} \right) \cos(u) \\
& \quad - \frac{v}{2} \sin \left( \frac{u}{2} \right) \cos \left( \frac{u}{2} \right) \sin^2(u) + \left( 2 + v \cos \left( \frac{u}{2} \right) \right) \cos(u) \cos \left( \frac{u}{2} \right) \sin(u) \\
& \quad + \frac{v}{2} \sin \left( \frac{u}{2} \right) \cos \left( \frac{u}{2} \right) \\
& = -\frac{v}{2} \sin \left( \frac{u}{2} \right) \cos \left( \frac{u}{2} \right) + \frac{v}{2} \sin \left( \frac{u}{2} \right) \cos \left( \frac{u}{2} \right) \\
& = 0.
\end{aligned}$$

$$\begin{aligned}
G & = \langle \phi_v, \phi_v \rangle \\
& = \langle (x_v, y_v, z_v), (x_v, y_v, z_v) \rangle \\
& = x_v^2 + y_v^2 + z_v^2 \\
& = \left( \cos \left( \frac{u}{2} \right) \cos(u) \right)^2 + \left( \cos \left( \frac{u}{2} \right) \sin(u) \right)^2 + \left( \sin \left( \frac{u}{2} \right) \right)^2 \\
& = \cos^2 \left( \frac{u}{2} \right) \cos^2(u) + \cos^2 \left( \frac{u}{2} \right) \sin^2(u) + \sin^2 \left( \frac{u}{2} \right) \\
& = \cos^2 \left( \frac{u}{2} \right) + \sin^2 \left( \frac{u}{2} \right) \\
& = 1.
\end{aligned}$$

Donde obtemos a primeira forma fundamental

$$I = \begin{pmatrix} v^2 \left( \frac{1}{4} + \cos^2 \left( \frac{u}{2} \right) \right) + 4v \cos \left( \frac{u}{2} \right) + 4 & 0 \\ 0 & 1 \end{pmatrix}.$$

**1.3. Um panorama de geometria diferencial II através do SageMath.** Próximos passos: (confirmar com o professor Márcio)

- Orientabilidade.
- Segunda forma fundamental e consequências geométricas.
- Aplicação normal de Gauss.
- Operador forma, curvatura Gaussiana, média e total.
- Derivada covariante.

- Símbolos de Christoffel<sup>3</sup>.
- Geodésicas e curvatura geodésica.
- Equações de compatibilidade.
- Teorema egrégio de Gauss.
- Teorema de Bonnet.
- Superfícies mínimas.
- Teorema de Gauss-Bonnet e aplicações.

Apresentar Notebook do SageManifolds com exemplos de cálculos simples (métricas, curvaturas, símbolos de Christoffel, plotagens,...).

---

<sup>3</sup>Em homenagem ao matemático e físico Elwin Bruno Christoffel.

## REFERÊNCIAS

- [DC05] M. P. Do Carmo, *Geometria diferencial de curvas e superfícies*, Sociedade Brasileira de Matemática, 2005. [↑1](#)